

Fig. 1

2/13

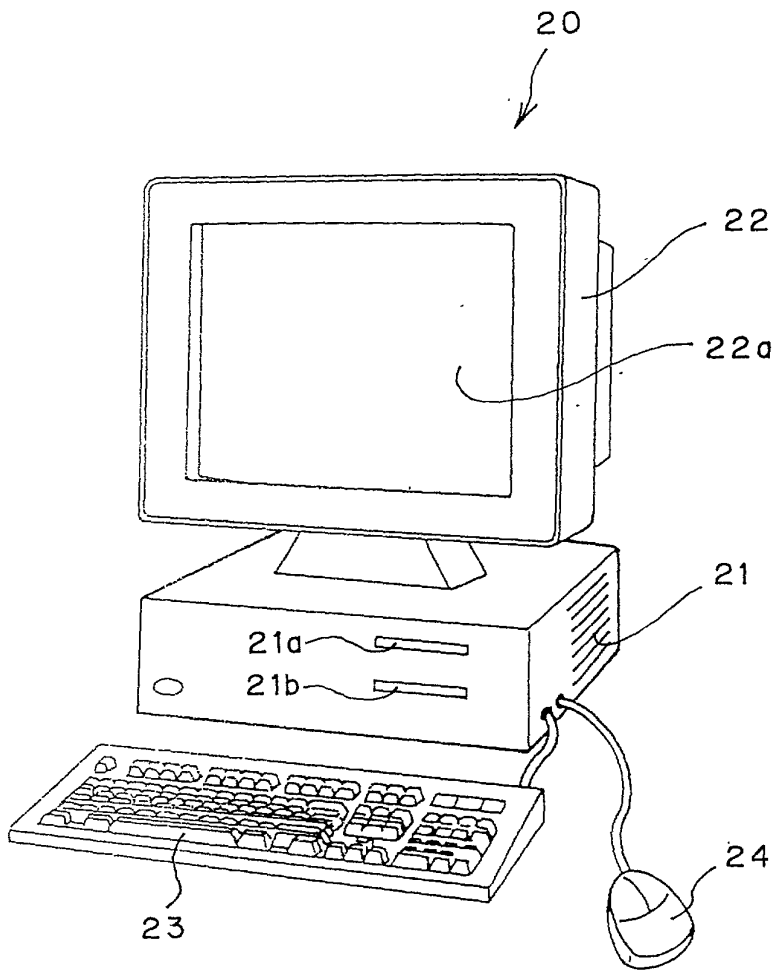


Fig. 2

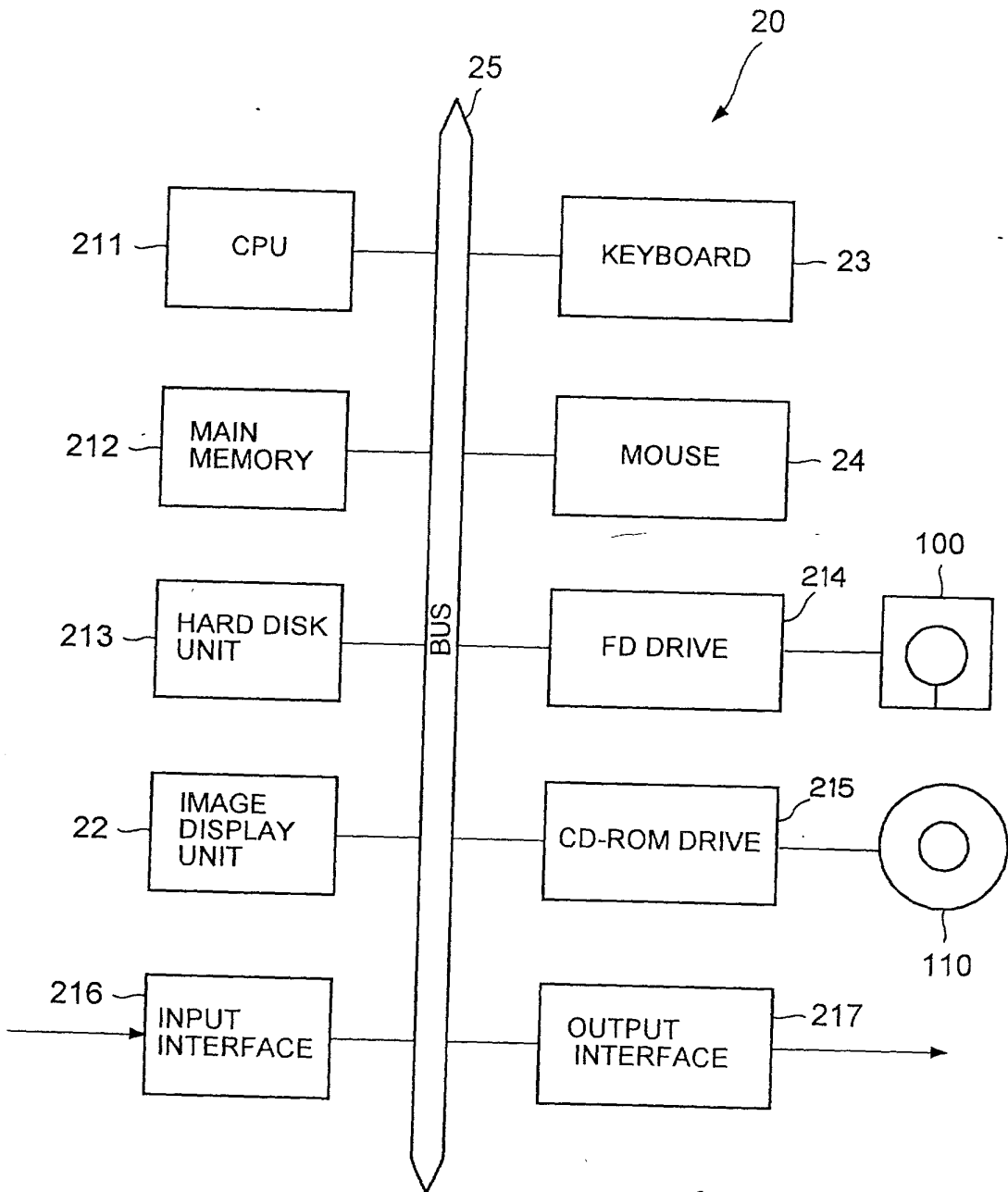


Fig. 3

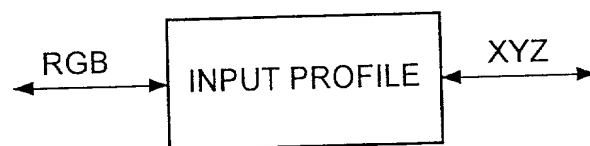


Fig. 4

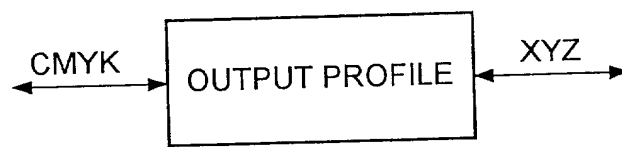


Fig. 5

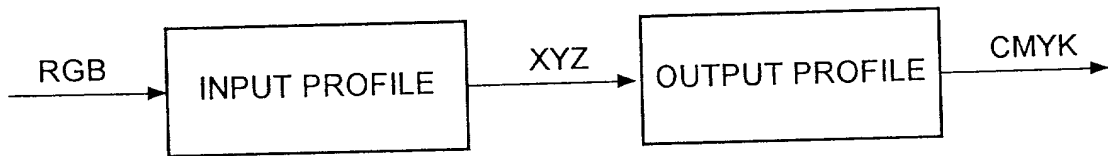


Fig. 6

5 / 13

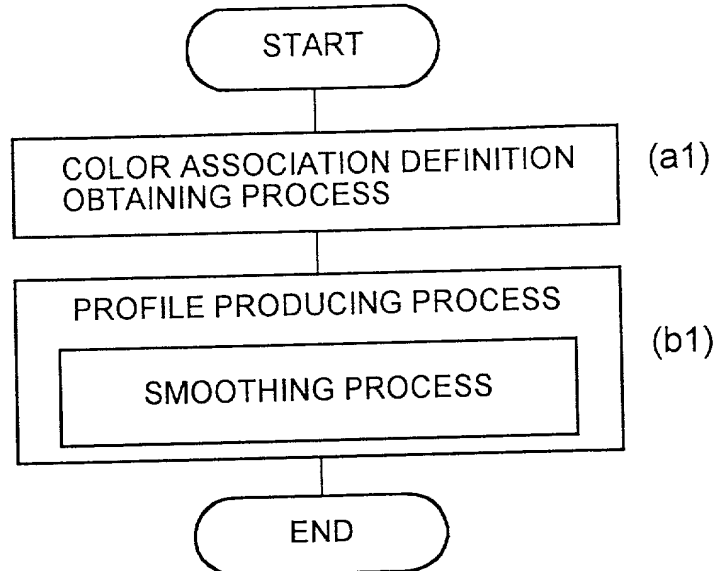


Fig. 7

	C	M	Y	K	X	Y	Z
(A)	0	0	0	0	72.34	74.35	71.21
	40	40	40	0	48.32	49.69	45.32
	70	70	70	0	28.94	29.87	24.39
	C	M	Y	K	X	Y	Z
(B)	0	0	0	0	72.34	74.35	71.21
	10	10	10	0	68.82	70.11	66.64
	20	20	20	0	61.67	63.64	59.54
	30	30	30	0	56.72	55.37	52.36
	40	40	40	0	48.32	49.69	45.32
	50	50	50	0	42.64	43.54	40.54
	60	60	60	0	35.63	36.64	34.42
	70	70	70	0	28.94	29.87	24.39

Fig. 8

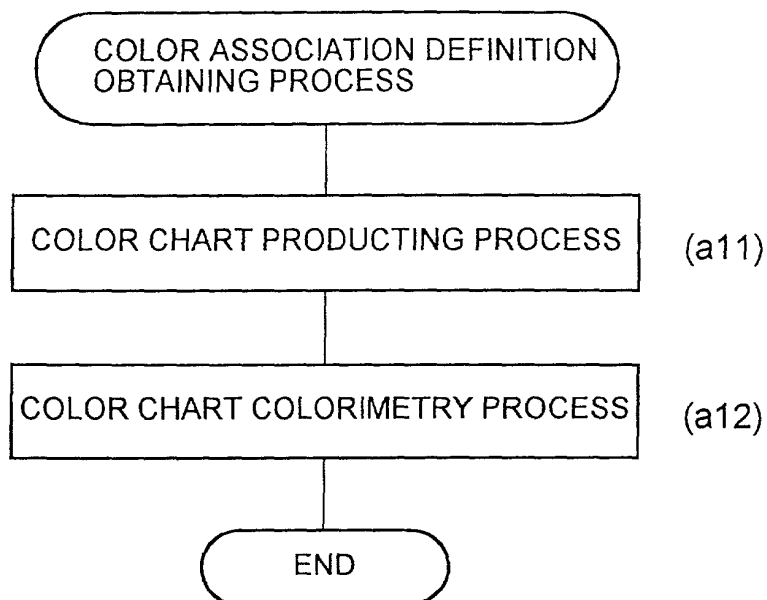


Fig. 9

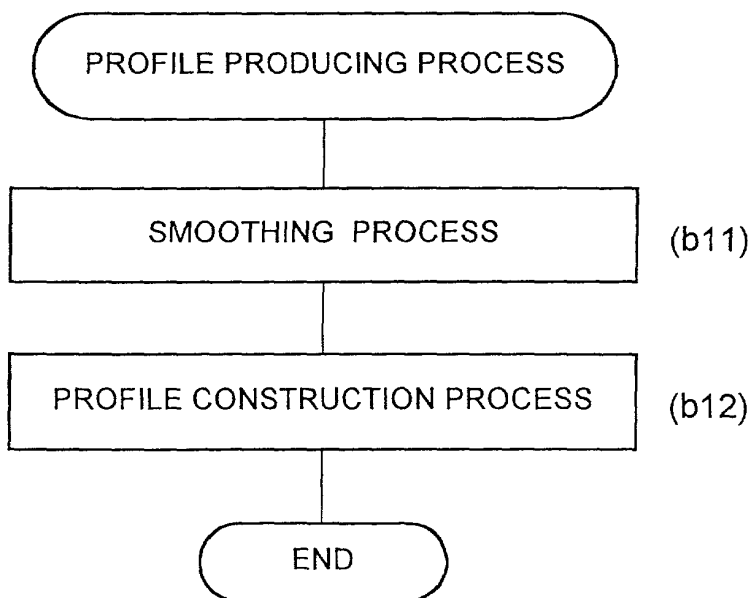


Fig. 10

7 / 13

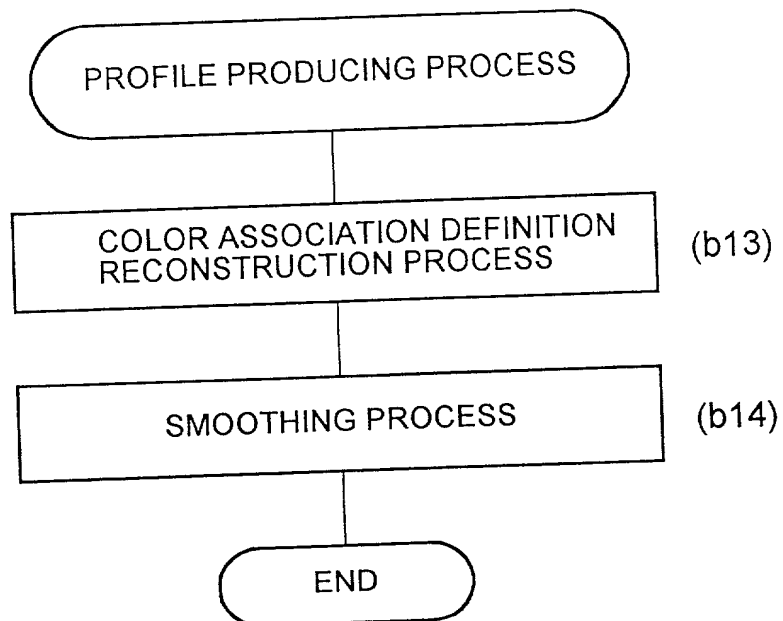


Fig. 11

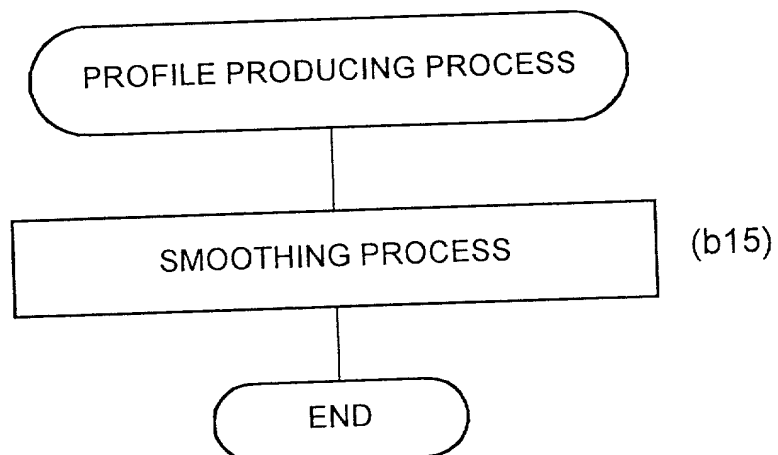


Fig. 12

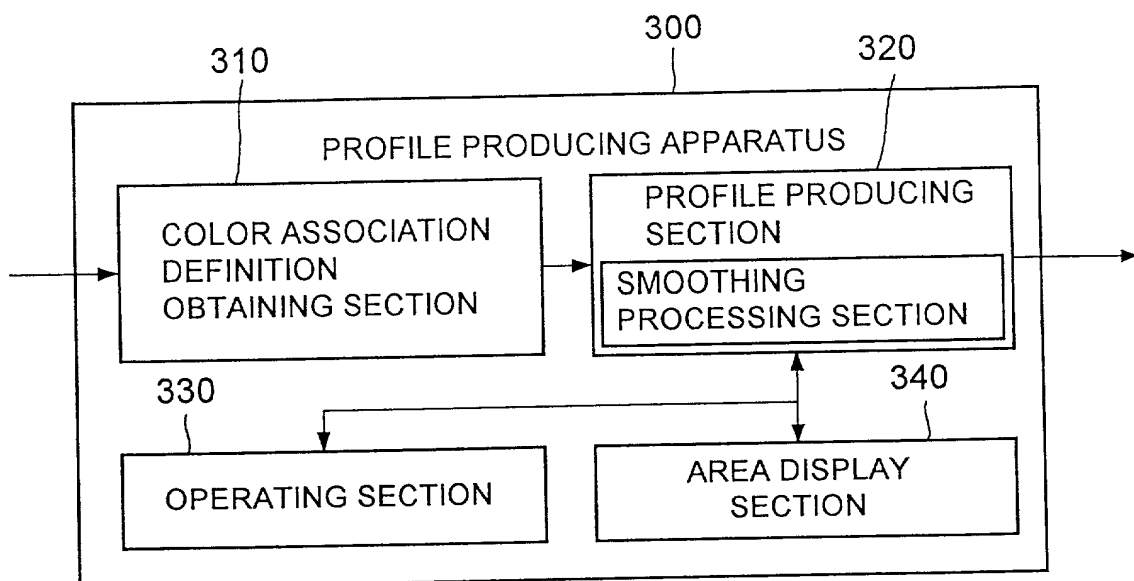


Fig. 13

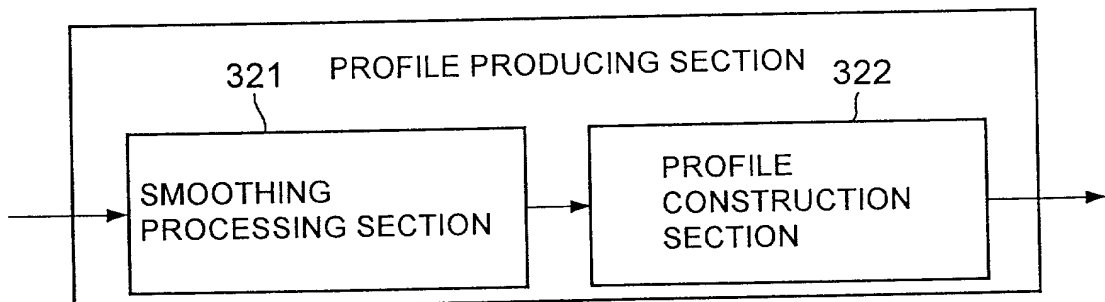


Fig. 14

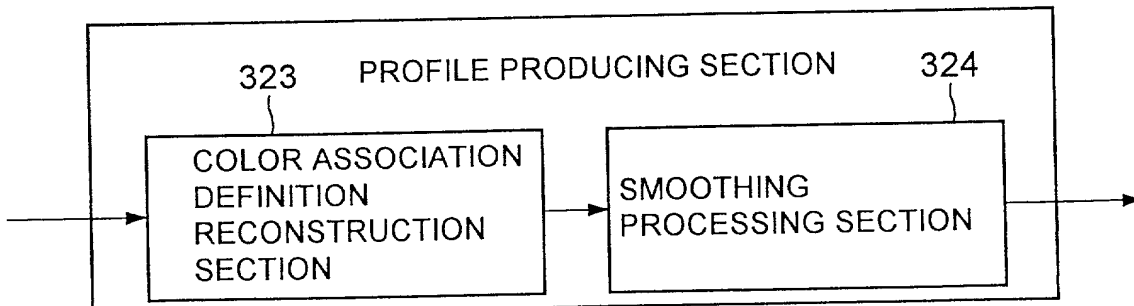


Fig. 15

9 / 13

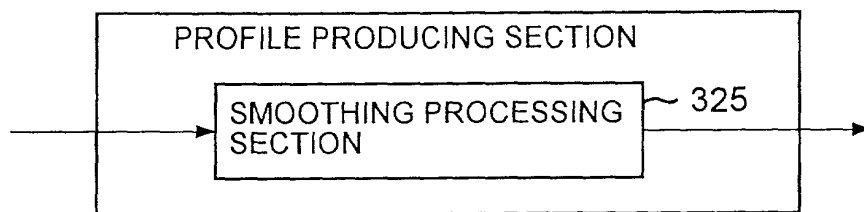


Fig. 16

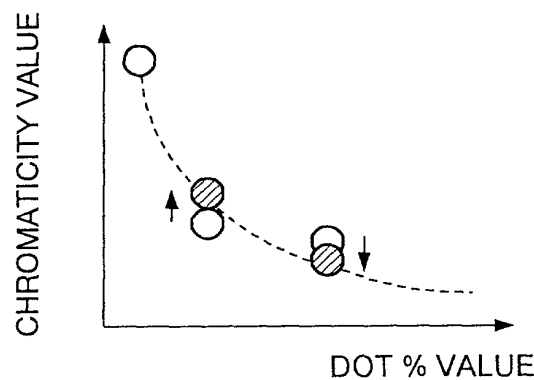


Fig. 17

10 / 13

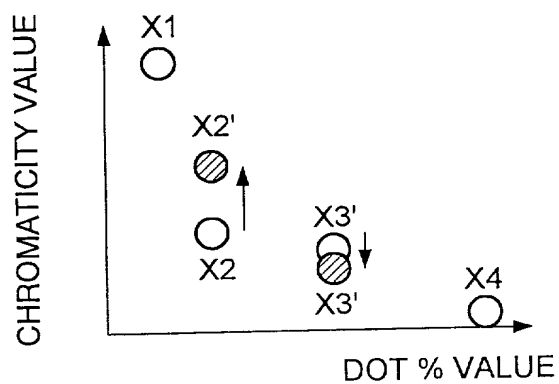


Fig. 18

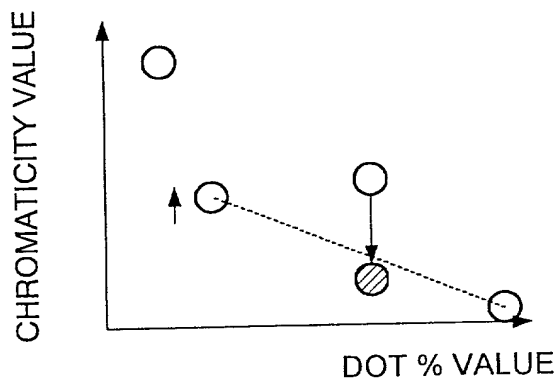


Fig. 19

11/13

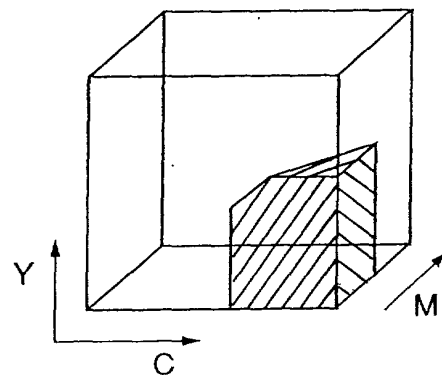


Fig. 20

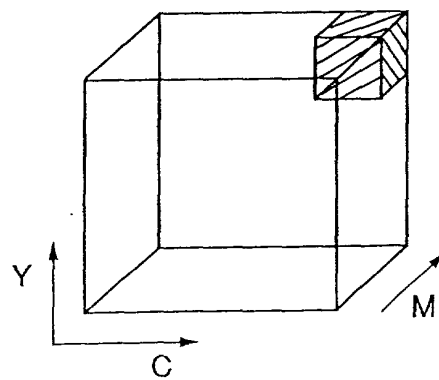


Fig. 21

12 / 13

SMOOTHING RANGE					
C	<input type="text"/>	%	~	<input type="text"/>	%
M	<input type="text"/>	%	~	<input type="text"/>	%
Y	<input type="text"/>	%	~	<input type="text"/>	%
K	<input type="text"/>	%	~	<input type="text"/>	%

Fig. 22

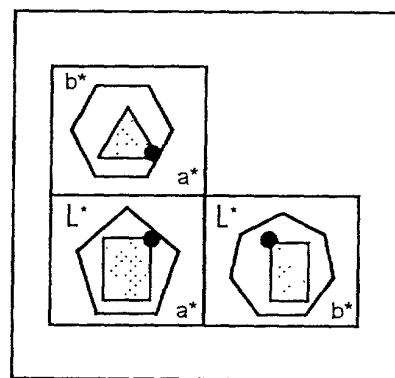


Fig. 23

13 / 13

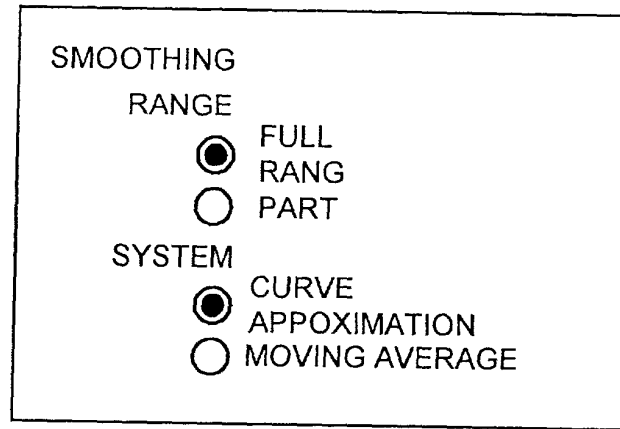


Fig. 24

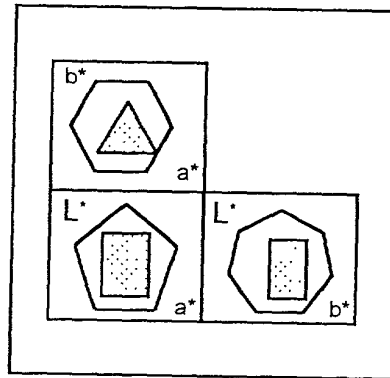


Fig. 25